

1. МОДЕЛЬНАЯ ЗАДАЧА

Рассмотрим краевую задачу на отрезке $[0,1]$ с малым параметром ε при старшей производной:

$$\varepsilon u'' + u' = 0, \quad 0 < x < 1, \quad (1)$$

$$u(0) = 1, \quad u(1) = 0, \quad (2)$$

где $\varepsilon \in (0, 1]$.

Решением этой задачи является функция

$$u(x) = \frac{e^{-\frac{x}{\varepsilon}} - e^{-\frac{1}{\varepsilon}}}{1 - e^{-\frac{1}{\varepsilon}}}, \quad (3)$$

вид которой изображен на рис. 1.1.

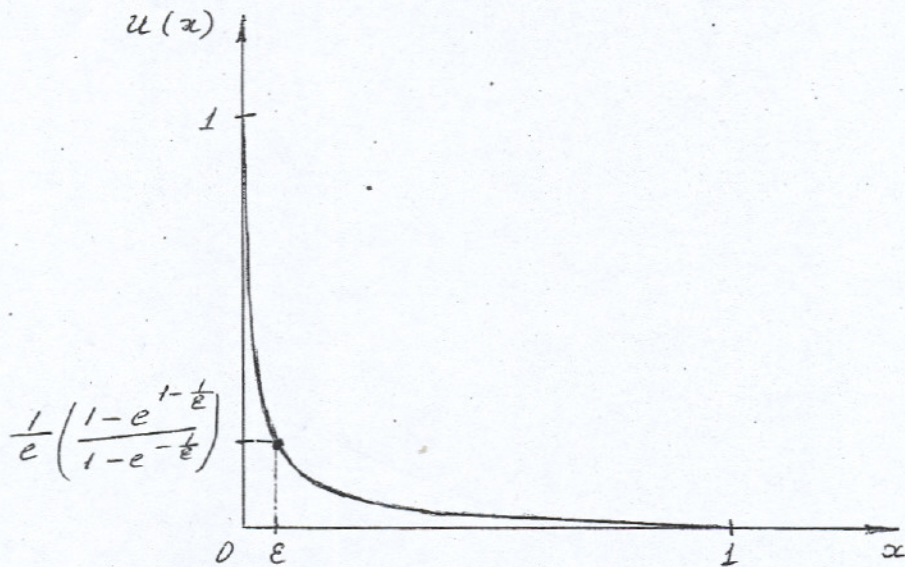


рис. 1.1

Устремим ε к нулю в решении $u(x)$. В результате получим предельную функцию

$$\bar{u}(x) = \lim_{\varepsilon \rightarrow 0} u(x) = \begin{cases} 1, & x=0, \\ 0, & 0 < x \leq L. \end{cases} \quad (4)$$

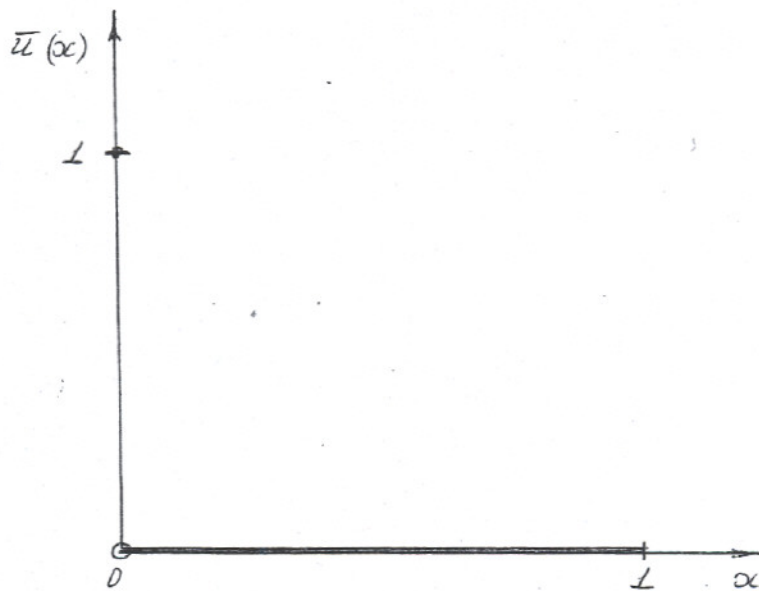


рис. 1.2

Теперь рассмотрим уравнение (1) при $\varepsilon = 0$:

$$u_0'(x) = 0, \quad 0 < x < L. \quad (5)$$

Уравнение (1) вырождается в обыкновенное дифференциальное уравнение первого порядка. Чтобы определить его единственное решение необходимо и достаточно учесть одно граничное условие:

$$u_0(0) = 0. \quad (6)$$

Решение задачи (5), (6)

$$u_0 \equiv 0. \quad (7)$$

Таким образом, в решении краевой задачи (1), (2) в окрестности точки $x=0$ возникает пограничный слой с быстро меняющимся решением. Чем меньше ε , тем уже пограничный слой и тем быстрее уменьшается $u(x)$ на этом пограничном слое.

2. СХЕМА С ЦЕНТРАЛЬНОЙ РАЗНОСТЬЮ НА РАВНОМЕРНОЙ СЕТКЕ

В данной работе исследуются схемы с центральной разностной производной на кусочно-равномерной сетке. Но прежде чем перейти к этому рассмотрим одну из классических схем — схему с центральной разностью на равномерной сетке.

Введем на отрезке $[0, 1]$ равномерную сетку

$$\bar{\omega} = \{ x_i = iH, i = 0, 1, \dots, N \}$$

с шагом $H = \frac{1}{N}$.

Соответствующая сетка из внутренних узлов

$$\omega = \{ x_i, i = 1, \dots, N-1 \}.$$

Рассмотрим на сетке $\bar{\omega}$ задачу

$$\varepsilon y''_{\bar{x}} + y'_{\bar{x}} = 0, \quad x \in \omega, \quad (8)$$

$$y_0 = 1, \quad y_N = 0. \quad (9)$$

Эта задача аппроксимирует дифференциальную задачу (1), (2) со вторым порядком по H .

Уравнение (8) можно записать в виде:

$$\varepsilon \frac{y_{i+1} - 2y_i + y_{i-1}}{H^2} + \frac{y_{i+1} - y_{i-1}}{2H} = 0.$$

Это однородное разностное уравнение второго порядка с постоянными коэффициентами. Его характеристический многочлен имеет корни 1 и

$$Q = \frac{2\varepsilon - H}{2\varepsilon + H}. \quad (10)$$

Общее решение уравнения (8)

$$y_i = c_1 + c_2 Q^i, \quad (11)$$

где c_1, c_2 — произвольные постоянные, которые определяются из граничных условий (9). В результате получим

$$y_i = \frac{Q^i - Q^N}{1 - Q^N}. \quad (12)$$

При $\epsilon \ll \frac{H}{2}$ имеем $Q \approx -1$. В этом случае решение задачи (8), (9) не имеет ничего общего с решением дифференциальной задачи (1), (2).

Этот факт подтверждается графиками y_ϵ и $u(x)$ при $\epsilon = 10^{-4}$, $N=15$ и $N=16$, изображенными на рис. 6.1 и 6.2.

Говорить о равномерной по ϵ сходимости не приходится.

3. СХЕМЫ С ЦЕНТРАЛЬНОЙ РАЗНОСТНОЙ ПРОИЗВОДНОЙ

НА КУСОЧНО-РАВНОМЕРНОЙ СЕТКЕ

3.1. КУСОЧНО-РАВНОМЕРНАЯ СЕТКА

Выделим на отрезке $[0,1]$ интервал $[0, \delta]$,

$$\text{где } \delta = \min \left\{ \epsilon \in \mathbb{C} : \epsilon < \frac{1}{2} \right\}, \quad (13)$$

ϵ — некоторая постоянная.

Введем на $[0,1]$ кусочно-равномерную сетку $\hat{\omega}$ с шагом h на $[0, \delta]$ и шагом H на $[\delta, 1]$ таким образом, чтобы узлы этой сетки разбивали интервалы $[0, \delta]$ и $[\delta, 1]$ на N частей:

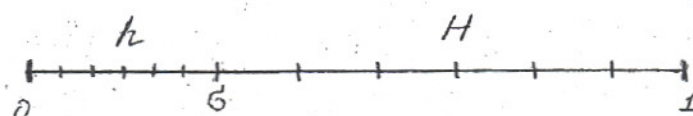


рис. 3.1

$$hN = \delta, \quad HN = 1 - \delta, \quad (14)$$

$$\hat{\omega} = \{ x_i = \begin{cases} i h, & i = 0, \dots, N, \\ \delta + (i-N) H, & i = N, \dots, 2N \end{cases} \}. \quad (15)$$

Соответствующая сетка из внутренних узлов

$$\hat{\omega} = \{ x_i, \quad i = 1, \dots, 2N-1 \}.$$

Обозначим

$$h = \frac{h+H}{2} = \frac{1}{2N}. \quad (16)$$

3.2. СЕМЕЙСТВО СХЕМ С ЦЕНТРАЛЬНОЙ РАЗНОСТЬЮ

НА КУСОЧНО-РАВНОМЕРНОЙ СЕТКЕ

1. Рассмотрим на сетке $\hat{\omega}$ семейство схем

$$\epsilon y_{\bar{x}x} + y_{\bar{x}} = 0, \quad c = 1, \dots, N-1, N+1, \dots, 2N-1, \quad (17)$$

$$\epsilon y_{\bar{x}\bar{x},N} + \alpha y_{x,N} + \beta y_{\bar{x},N} = 0, \quad (18)$$

$$\alpha + \beta = 1,$$

$$y_0 = 1, \quad y_{2N} = 0. \quad (19)$$

Здесь $y_{\bar{x},c} = \frac{y_{c+1} - y_{c-1}}{h_c + h_{c+1}}$. (20)

Исследуем случаи:

$$\text{I)} \quad \alpha = \frac{H}{2\pi}, \quad \beta = \frac{h}{2\pi}.$$

В этом случае (17), (18) обращается в уравнение

$$\epsilon y_{\bar{x}\bar{x}} + y_{\bar{x}}, \quad x \in \hat{\omega}.$$

$$\text{II)} \quad \alpha = \beta = \frac{1}{2}.$$

Тогда имеем уравнение

$$\epsilon y_{\bar{x}\bar{x}} + \frac{1}{2}(y_x + y_{\bar{x}}) = 0, \quad x \in \hat{\omega}.$$

$$\text{III)} \quad \alpha = \frac{h}{2\pi}, \quad \beta = \frac{H}{2\pi},$$

т.е.

$$\epsilon y_{\bar{x}\bar{x}} + \frac{h}{2\pi} y_x + \frac{H}{2\pi} y_{\bar{x}} = 0, \quad x \in \hat{\omega}.$$

Заметим, что разностное уравнение (17), (18) аппроксимирует дифференциальное уравнение (1) с первым порядком по H , а в случае III) выражение $(\alpha y_x + \beta y_{\bar{x}})_N$ аппроксимирует член $u'(x_N)$ со вторым порядком по H .

2. Решим разностную задачу (17)-(19). Сначала удовлетворим (17). В силу (10),(11) имеем:

$$y_i = \begin{cases} c_1 + c_2 q^i, & i = 0, \dots, N, \\ c_3 + c_4 Q^i, & i = N, \dots, 2N. \end{cases} \quad (21)$$

Здесь

$$q = \frac{\varepsilon \varepsilon - h}{\varepsilon \varepsilon + h}, \quad Q = \frac{\varepsilon \varepsilon - H}{\varepsilon \varepsilon + H}, \quad (22)$$

c_1, c_2, c_3, c_4 - произвольные постоянные.

Соотношение (21) с учетом граничных условий (19) можно переписать следующим образом:

$$y_i = \frac{v_i - v_{2N}}{v_0 - v_{2N}}, \quad (23)$$

$$v_i = \begin{cases} q^i + a q^N, & i = 0, \dots, N, \\ b q^N Q^{i-N}, & i = N, \dots, 2N. \end{cases} \quad (24)$$

Значения постоянных a и b находим из разностного уравнения в узле N (18) и из соотношения (24) в узле N :

$$\beta = a + 1 = \frac{\varepsilon - \beta \frac{h}{2}}{\varepsilon + \alpha \frac{h}{2}} \frac{\varepsilon + \frac{H}{2}}{\varepsilon - \frac{h}{2}}. \quad (25)$$

Итак, решение разностной задачи (17)-(19) определяется формулами (22)-(25).

3.3. СХЕМА $\varepsilon y_{\bar{x}\bar{x}} + y_{\bar{x}} = 0$

1. Рассмотрим на кусочно-равномерной сетке задачу (17)-(19) в случае $\alpha = \frac{H}{\varepsilon h}$, $\beta = \frac{h}{2\varepsilon}$:

$$\varepsilon y_{\bar{x}\bar{x}} + y_{\bar{x}} = 0, \quad x \in \hat{\omega}, \quad (26)$$

$$y_0 = 1, \quad y_{2N} = 0. \quad (27)$$

В силу (22)-(25) ее решение имеет вид:

$$y_i = \frac{v_i - v_{2N}}{v_0 - v_{2N}}, \quad (28)$$

$$v_i = \begin{cases} q^i, & i = 0, \dots, N, \\ q^N Q^{i-N}, & i = N, \dots, 2N. \end{cases} \quad (29)$$

Заметим, что в случае $\frac{1}{2} \leq c \ln N$ из (13)-(15) получаем $B = \frac{1}{2}$, $h = N$, т.е. $\hat{\omega}$ обращается в равномерную сетку, а (29) можно переписать следующим образом:

$$v_i = q^i, \quad i = 0, \dots, 2N. \quad (30)$$

2. Оценим сеточную функцию v_i .

В силу (22), (13)-(15)

$$q = \frac{1 - \frac{h}{2\varepsilon}}{1 + \frac{h}{2\varepsilon}},$$

причем $q > 0$ при достаточно больших N ,

т.к.

$$\frac{h}{2\varepsilon} = \frac{c}{2\varepsilon N} \leq \frac{c \ln N}{2N}. \quad (31)$$

Воспользовавшись разложениями по формуле Тейлора, получаем:

$$\ln q = \ln \left(\frac{1 - \frac{h}{2\varepsilon}}{1 + \frac{h}{2\varepsilon}} \right) = -\frac{h}{\varepsilon} + O\left(\left(\frac{h}{\varepsilon}\right)^3\right),$$

$$q^i = \exp\{i \ln q\} = \exp\left\{-i \frac{h}{\varepsilon}\right\} \left[1 + i O\left(\left(\frac{h}{\varepsilon}\right)^3\right)\right]. \quad (32)$$

Учтем неравенство

$$i \exp\left\{-i \frac{h}{\varepsilon}\right\} \leq \frac{1}{e} \frac{\varepsilon}{h}$$

(которое можно получить, исследовав на максимум функцию $t \exp\{t - at\}$)

на $[0, \infty)$ и (31). В результате имеем неравенство

$$|q^c - \exp\{-c \frac{h}{\epsilon}\}| \leq O\left(\left(\frac{h}{\epsilon}\right)^2\right) \leq O\left(\left(\frac{\ln N}{N}\right)^2\right),$$

которое в дальнейшем будем записывать следующим образом:

$$q^c = \exp\{-c \frac{h}{\epsilon}\} + O\left(\left(\frac{\ln N}{N}\right)^2\right). \quad (33)$$

В случае $\beta = c \ln N$ для $c \geq N$ имеем:

$$\begin{aligned} |q^N Q^{c-N} - \exp\{-\frac{x_c}{\epsilon}\}| &\leq q^N + \exp\{-\frac{x_c}{\epsilon}\} \leq \\ &\leq 2 \exp\{-\frac{\beta}{\epsilon}\} + O\left(\left(\frac{\ln N}{N}\right)^2\right) = O\left(\frac{1}{N^c} + \left(\frac{\ln N}{N}\right)^2\right). \end{aligned} \quad (34)$$

Если $c \geq 2$, в силу (29), (30), (33), (34), получаем:

$$v_c = \exp\{-\frac{x_c}{\epsilon}\} + O\left(\left(\frac{\ln N}{N}\right)^2\right). \quad (35)$$

3. Сравним решение разностной задачи (26), (27) с решением задачи (1), (2) $u(x)$ в узлах сетки. В силу (28), (35), (3),

$$\begin{aligned} y_c &= \frac{v_c - v_{2N}}{v_0 - v_{2N}} = \frac{\exp\{-\frac{x_c}{\epsilon}\} - \exp\{-\frac{1}{\epsilon}\} + O\left(\left(\frac{\ln N}{N}\right)^2\right)}{1 - \exp\{-\frac{1}{\epsilon}\} + O\left(\left(\frac{\ln N}{N}\right)^2\right)} = \\ &= \frac{\exp\{-\frac{x_c}{\epsilon}\} - \exp\{-\frac{1}{\epsilon}\}}{1 - \exp\{-\frac{1}{\epsilon}\}} + O\left(\left(\frac{\ln N}{N}\right)^2\right), \end{aligned}$$

т.е.

$$y_c = u(x_c) + O\left(\left(\frac{\ln N}{N}\right)^2\right). \quad (36)$$

Итак, при $c \geq 2$ схема (26), (27) сходится с порядком $\left(\frac{\ln N}{N}\right)^2$ равномерно по ϵ .

4. В разделе 6 приведены результаты расчетов задачи (1), (2) по схеме (26), (27). Рис. 6.3 и табл. 1 показывают поведение y_c , $u(x_c)$ и $\chi_c = y_c - u(x_c)$ в узлах сетки. С помощью табл. 2 можно про-

ледить, как изменяется $\lambda_{\max} = \max |z_i|$ при изменении ε и N .

Эти результаты подтверждают сделанный выше вывод о сходимости схемы (26), (27).

$$3.4. \text{ СХЕМЫ } \varepsilon y_{\bar{x}\bar{x}} + \frac{1}{2}(y_x + y_{\bar{x}}) = 0$$

$$\text{И } \varepsilon y_{\bar{x}\bar{x}} + \frac{h}{2\pi} y_x + \frac{H}{2\pi} y_{\bar{x}} = 0$$

Рассмотрим на кусочно-равномерной сетке $\hat{\omega}$ задачу (17)-(19) в случаях:

II) $\alpha = \beta = \frac{1}{2}$, тогда получаем

$$\varepsilon y_{\bar{x}\bar{x}} + \frac{1}{2}(y_x + y_{\bar{x}}) = 0, \quad x \in \hat{\omega}, \quad (37)$$

$$y_0 = 1, \quad y_{2N} = 0. \quad (38)$$

III) $\alpha = \frac{h}{2\pi}$, $\beta = \frac{H}{2\pi}$,

$$\text{т.е. } \varepsilon y_{\bar{x}\bar{x}} + \frac{h}{2\pi} y_x + \frac{H}{2\pi} y_{\bar{x}} = 0, \quad x \in \hat{\omega}, \quad (39)$$

$$y_0 = 1, \quad y_{2N} = 0. \quad (40)$$

В силу (22)-(25), решения этих задач определяются соотношениями:

$$y_c = \frac{v_c - v_{2N}}{v_0 - v_{2N}}, \quad (41)$$

$$v_c = \begin{cases} q^c + (\beta - 1) q^N, & c = 0, \dots, N, \\ \beta q^N Q^{c-N}, & c = N, \dots, 2N. \end{cases} \quad (42)$$

где q - следующая постоянная:

$$\text{II)} \quad \beta = \frac{\varepsilon - \frac{h}{2}}{\varepsilon + \frac{h}{2}} \quad \frac{\varepsilon + \frac{H}{2}}{\varepsilon - \frac{h}{2}},$$

$$\text{III)} \quad \beta = \frac{\varepsilon^2 - \left(\frac{H}{2}\right)^2}{\varepsilon^2 - \left(\frac{h}{2}\right)^2}.$$

Исследуем случай $\varepsilon \ll \frac{1}{N}$.

В силу (13), (14), (16),

$$\text{II) } \beta = \frac{\varepsilon - \frac{1}{\varepsilon N}}{\varepsilon + \frac{1}{\varepsilon N}} \frac{\varepsilon + \frac{1 - \varepsilon c \ln N}{\varepsilon N}}{\varepsilon - \frac{\varepsilon c \ln N}{\varepsilon N}} \approx - \frac{1}{2\varepsilon N},$$

$$\text{III) } \beta = \frac{\varepsilon^2 - \left(\frac{1 - \varepsilon c \ln N}{\varepsilon N}\right)^2}{\varepsilon^2 - \left(\frac{\varepsilon c \ln N}{\varepsilon N}\right)^2} \approx - \left(\frac{1}{2\varepsilon N}\right)^2,$$

т.е. β - большая по модулю отрицательная постоянная.

Поэтому при $\varepsilon \ll \frac{1}{N}$ решения задач (37), (38) и (39), (40) не имеют ничего общего с решением дифференциальной задачи (1), (2).

Этот факт иллюстрирует рис. 6.4, на котором изображены графики $u(x)$ и u_c - приближенного решения, полученного при расчете схемы, аналогичной схеме II, при $\varepsilon = 10^{-4}$.

4. ГЛАДКОЕ РЕШЕНИЕ

4.1. МОДЕЛЬНАЯ ЗАДАЧА

Рассмотрим на отрезке $[0, 1]$ задачу

$$\varepsilon u'' + u' = -f, \quad 0 < x < 1, \quad (43)$$

$$u(0) = 0, \quad u(1) = 0, \quad (44)$$

$$\varepsilon \in (0, 1].$$

Решение этой задачи можно найти, например, методом вариации постоянных. В результате получим

$$u(x) = - \int_0^x f(s) \left(1 - e^{\frac{x-s}{\varepsilon}}\right) ds + \\ + \frac{1 - e^{-\frac{x}{\varepsilon}}}{1 - e^{-\frac{1}{\varepsilon}}} \cdot \int_0^1 f(s) \left(1 - e^{\frac{s-x}{\varepsilon}}\right) ds. \quad (45)$$